

(39) 岩及び多孔媒体の非定常透気の特性

埼玉大学工学部 正会員 佐藤 邦明
○小野 誠

1.はじめに

砂や岩を含む多孔媒体中を気体（あるいは気体と液体の共存流体）が流れる時、特に気体の圧縮性と表面張力が特徴的に現われてくる。従来、透気性については土木工学の分野があまり興味をもたれてこなかったように思われる。しかし、最近岩盤空洞の利用の多様化の中でエネルギー貯蔵に係る透気現象について研究が望まれるようになってきた。¹⁾著者の一人は昨年基礎的に乾燥した岩石と水を飽和された岩石について透気実験を試み、透気の運動における基礎式の性質を明らかにした。²⁾それによると、乾燥状態の岩石は湿润状態の透気性が小さくなること、また透気においては気体の圧縮性が圧力分布・透気量に関与して効いてくることが判った。³⁾しかしながら、気体と液体が共存する多孔媒体中を流れる時、それを力学的にどう扱えばよいか、さらにこの場合の透気メカニズムがどうなっているか直接知ることができないかった。そこで、今回は岩石及び水を飽和されたガラス球充てん層内の透気について基礎的な実験を行ない二・三の興味ある結果を得たので報告する。

2. 実験装置とその計測システム

今回の実験は図-1、(a)、(b)に示したような二つの実験装置によつて行なわれた。(a)図には岩石の透気試験装置を示し、(b)図にはガラス球充てん層の透気試験装置を示す。岩石の透気試験装置は、岩石試料（直径0.05m、長さ0.2mの試料周辺を0.02mの樹脂で固めてある）、圧力計（直径5.5mm）とその変換・出力計（共和電業、HSB-51A）、透気圧ガスボンベ（N₂ガス）、及び透気量測定タンク（直径0.3m、高さ0.39m）からなる。一方、飽和多孔媒体中の透気について(b)図のように、多孔媒体コンテナ（長さ0.5m、幅0.1m、厚さ0.02mの透明アクリル製）、上部貯水タンク（寸法0.39×0.39×0.33m 透明アクリル製）と集気シリンダー、圧力測定用水銀マノメーター、定量加圧送気装置、及びビデオカメラ・記録レコーダーからなる。

実験方法。手順は岩石とガラス球充てん層の場合を分け説明すると次のようである。

まず、岩石の透気は岩石として花こう岩と礫岩を用い、岩石中に圧力計をセットし、N₂ガスタンクから所定の上端圧力を与えて、透気させる。透気中の圧力は圧力変換機によつて経時的に計測し、透気量も適当な時間ごとに測る。実験条件は表-1に示すように、加圧力を変えておき。

他方、ガラス球充てん層の透気実験は大別すると、二つのケースであり、一つはガラス球充てん層の上端から透気させる場合であり、透気は飽和水を一部排除する形で下方に進行し、比較的明確な気液界面が形成される。もう一方の透気は充てん層下部から透気が起こる場合である、気体は空隙中で浮力と気体の表面張力によつて一様に透気するわけではなく、気泡状になつて

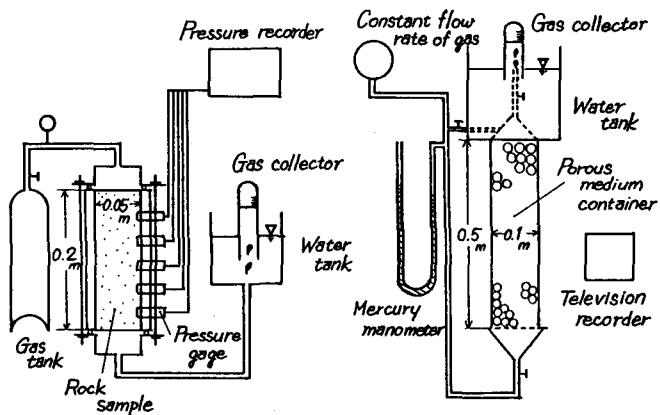


図-1 実験装置とそのシステム

1), クリープ流れ状に計算する。これらの実験は次の手順で行なう。

多孔媒体充てんコンティナーにガラス球を充てんした後、下端から水を供給して飽和させ、上端の集気タンクにも水を張る。しきる後に上部コックを止め、加圧送気装置と送気パイプを接続し、水銀ノーメーターに連結する。そこで、コックを開閉して上端あるいは下端から送気して、界面あるいは気泡をビデオカメラで撮影し、ノーメーターの読み、透気量を経時に読み取る。ビデオカメラで写真撮影する際、カメラと反対側に光源を置いて光効果をうまく利用して映像を捉える。

実験の条件は表-1にまとめ表示してあるように設定する。

表-1 実験条件と物性値

試料No.	多孔媒体	直徑 (m) $\times 10^{-3}$	高さ (m) $\times 10^3$	空隙率 (%)	境界圧力 (MPa)	流量 (m³/s) $\times 10^{-6}$	固有透気係数 (m²) $\times 10^{-12}$	透気係数 (m³/s) $\times 10^{-12}$
EXP. 1	花崗岩	5.00×10^{-3}	2.00×10^3	0.82	0.20	4.22×10^{-6}	7.75×10^{-12}	5.03×10^{-12}
					0.29	9.33×10^{-6}	9.09×10^{-12}	5.20×10^{-12}
					0.39	2.34×10^{-6}	1.52×10^{-12}	9.86×10^{-12}
EXP. 2	花崗岩	5.55×10^{-3}	2.03×10^3	0.92	0.20	1.11×10^{-6}	1.71×10^{-12}	1.11×10^{-12}
					0.30	2.60×10^{-6}	2.01×10^{-12}	1.30×10^{-12}
					0.38	4.34×10^{-6}	3.83×10^{-12}	2.49×10^{-12}
EXP. 3	礫岩	5.19×10^{-3}	2.00×10^3	0.94	0.33	7.72×10^{-6}	5.36×10^{-12}	3.48×10^{-12}
					0.48	1.79×10^{-6}	8.16×10^{-12}	5.30×10^{-12}
					0.57	2.36×10^{-6}	8.82×10^{-12}	5.72×10^{-12}
EXP. A	ガラス球 $\phi 0.8$ $\sim 1.5\text{mm}$	断面 0.1×0.02	5.00×10^3	13.8	—	2.00×10^{-6}	—	2.53×10^{-12}
					—	4.00×10^{-6}	—	3.79×10^{-12}
					—	8.00×10^{-6}	—	7.15×10^{-12}
EXP. B	ガラス球 $\phi 1.5$ $\sim 2.5\text{mm}$	断面 0.1×0.02	5.00×10^3	34.9	—	2.00×10^{-6}	—	1.07×10^{-12}
					—	4.00×10^{-6}	—	2.53×10^{-12}
					—	8.00×10^{-6}	—	7.15×10^{-12}

3. 実験結果とその検討

3.1 岩石の透気の場合

一次元の透気量について、基礎式は、 $\frac{\partial P}{\partial t} = (\frac{K}{2\pi\mu}) \frac{\partial^2 P}{\partial x^2}$ (Z=12, P: 気体圧力, K: 固有透気係数, μ : 空隙率, μ : 粘性係数, t: 時間, Z: 座標とする) で表わされ、非線型の微分方程式である。筆者の1人は昨年この式を数值解析によって解いたが、境界圧力差があまり大きくなければ、この式は式(1)のようでは模型化でき、変数変換して式(2)のような常微分方程式に書き変えうる。

$$\frac{\partial P}{\partial t} = G \frac{\partial^2 P}{\partial x^2}, \quad (1) \quad \frac{d^2 P}{d\eta^2} + 2\eta \frac{dP}{d\eta} = 0, \quad \eta = \frac{x}{2\sqrt{Gt}}, \quad (2)$$

ここで、 $G = K(P_0 + P_e)/2\pi\mu$, P_0, P_e : それぞれ $x=0, x=l$ の境界圧力とする。

式(2)は式(3)の条件下で解くと、式(4)のような解をうる。

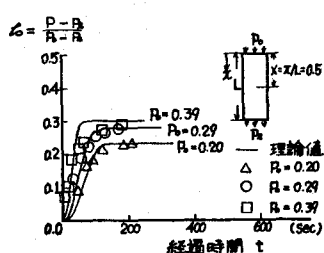
$$\left. \begin{array}{l} x=0 (\eta=0), \quad P=P_0 \\ x=l (\eta=\frac{l}{2\sqrt{Gt}}=\alpha), \quad P=P_e \end{array} \right\} (3) \quad P = \frac{(P_0 + P_e)}{E} \int_0^\alpha e^{-\eta^2} d\eta + P_0, \quad (4)$$

ここで、 $E = \int_0^\alpha e^{-\eta^2} d\eta$, $\alpha = \frac{l}{2\sqrt{Gt}}$, $G = K(P_0 + P_e)/2\pi\mu$ とする。

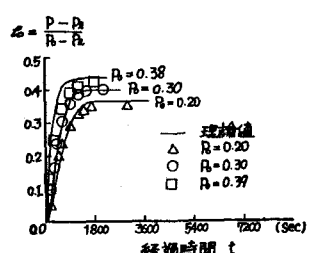
定常の状態では、 $\frac{\partial^2 P}{\partial x^2} = 0$ たり条件 $x=0, P=P_0, x=l, P=P_e$ を用いると、 $P^2 = (P_e^2 - P_0^2) / \frac{4\pi}{l} + P_0^2$ となる。

今回の実験で得られた圧力の経時変化と式(4)の適合性を比較したもののが図-2(a), (b), (c)のようである。図中における圧力分布は岩石試料の中央 $x=\frac{l}{2}$ の圧力経時変化を境界圧力(つまり試料上端の圧力)を変えて得られたものであり、図中の実線は理論式(4)を表-1に示したようなノーメーターを用いて描いたものである。図-2, (a), (b), (c)はそれ岩石の違いによるもので、実験で得られた圧力と理論曲線はいい一致を見せていくが、実験開始直後の圧力は実験値の方がやや小さくなる傾向がある。これは必ずしも基礎式の線型化による差とも言えない。つまり、もともと透気量が小さいために圧力センサーを岩石中に設定する小孔と圧力計の壁間に少しすぎ間が出来るためにとえ 0.2mm 程度のすき間でもそこ透気した気体が貯つてそこに圧力を現わ

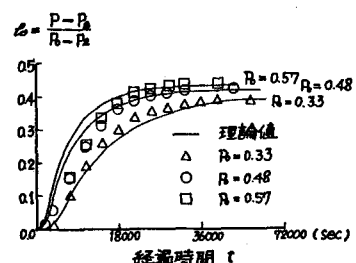
すくめに時間遅れが生じることにも原因がある。線型化された理論解に数值解より計算し易い。



(a) EXP-1 の圧力変化



(b) EXP-2 の圧力変化



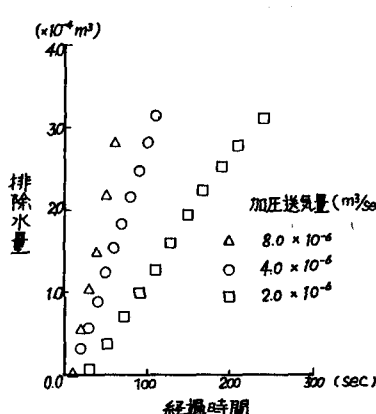
(c) EXP-3 の圧力変化

図-2 岩石透気による圧力 ($x = \frac{1}{2}$ 点) の経時変化

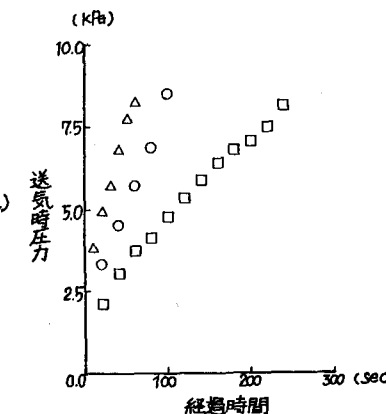
3・スガラス球充てん層の透気

(1)置換透気の場合（上端よりの加圧）

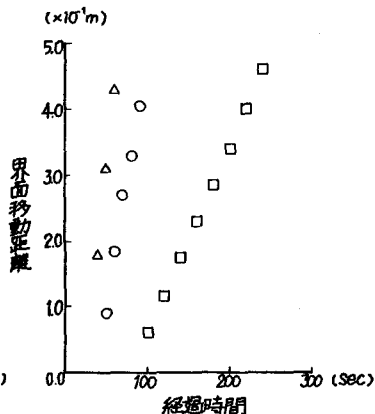
ガラス球充てん層の上端から一定供給速度で透気させ、界面の移動速度と圧力変化について計測した。界面はすべての実験で明瞭に観測された。図-3はそれらの結果を示したものである。(a), (b), (c)図にもそれぞれ送気量による充てん層の排除気体量、圧力変化及び界面の移動距離の関係が示されている。(a), (c)図から判るよう送気量はそのままで排除気体量に比例し、単純に気液界面は送気によって排除されるのみとなることが知られる。



(a) 送気量と排除気体量の関係



(b) 送気量と気相圧力変化の関係



(c) 送気量と気液界面移動距離の関係

(2)気泡状透気の場合（下端よりの加圧）

ガラス球充てん層の下端から定圧、定流量で透気させる場合があり、下方からある圧力に至って図-4のように気泡状に透気し、気泡は上昇と共に表面張力により形状を変えつつ減速傾向をとっている。図中、(a), (b)の違いは充てん層のガラス球の粒径が違うわけであり、ケースBの方が粒径が大きいために上昇速度は大きくなっていることが判る。つぎに、図-4で得られた気泡上昇距離を所要時間で割った値を気泡上昇速度としてその経時変化を示したもののが図-5である。この関係からすると、気泡は初め速く上昇するが、時間と共に一定値に近づく傾向がある。つまり、気泡は上昇と共にその体積を増し、浮力は大きくなるもののうちに分散されると上昇速度は一定値に近づくものと考えられる。

つぎに、図-6は飽和ガラス球充てん層中を図-4に示したような形態で上昇する気泡の累積透気流量の経時変化である。時間当たりの送気量をパラメーターに送気圧力値と共に示してある。明らかに透気発生圧力はケースAの粒径の小さい方が大きくなっている。粒径が小さいほど透氣に高い圧力を要することをはっきり示している。

また、送気量はほとんど一定の割合で表われ、いわゆるもしくは送気量が大きいと透氣も大きいことを示す。この事は透氣中に多孔媒体中に拘束される気体ではなくないことを表す。

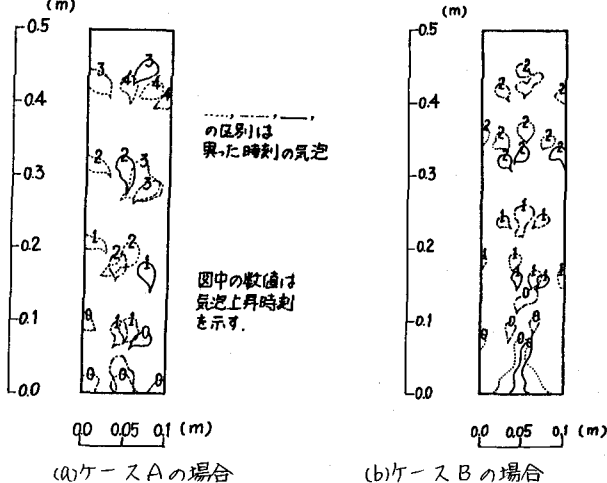


図-4 観測された気泡の形状と上昇状況

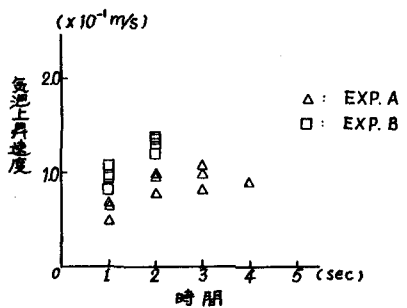


図-5 気泡の上昇速度の経時変化

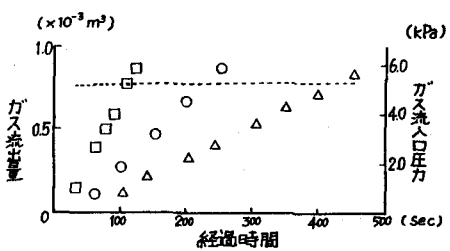
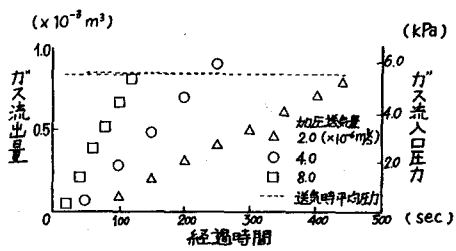


図-6 累積透気量と時間の関係

むすび

岩石とガラス球充てん層における透気の性質について実験的に検討を加えた。その結果、岩石の透気については一次元透気の基礎式を線型化してもかなり実験結果が説明されうる。さらに、飽和ガラス球充てん層の透気について上端から透気させる場合には一種の気体渦流となり浮力、表面張力効果によく安定した気液界面を形成するが、下方向からの透気は表面張力と浮力が支配的となって気泡を形成して分散・クリープ流となって透気することが明らかとなり、気泡自体上昇中に減速傾向をもつようになることが明確になった。

最後に、本研究を進めるに当たって石油公团及び地下備蓄施設実証プラント協同企業体からご協力を得たことを記して心よりお礼申し上げる次第であります。

参考文献

- 1) 宮下・佐藤: 岩盤力学モデル中の気液二相流に関する実験的研究, 土質工学会論文報告集, Vol. 24, No. 4 Dec. 1984, PP 155 ~ 162
- 2) 佐藤・青野: 岩石の透気に関する基礎的研究, 第12回岩盤力学に関するシンポジウム講演論文集, 工木学会, Feb. 1986, PP 386 ~ 400
- 3) 伊藤・佐藤・清水: 岩石の透気における非定常現象について, 第21回土質工学研究発表会, 1986, PP 997 ~ 998

(39) Characteristics of unsteady gas seepage in rock and porous media

by Kuniaki Sato* and Makoto Ono**

Gas seepage becomes important in dealing with for the energy storage in rock cavern and air curtain in soils. This paper presents some characteristics of gas seepage in rock and porous media. Two experiments are separately carried out by two different apparatuses : gas seepage in rock and gas flow in columnar packing of glass spheres. The pressure change with time in gas seepage through rock samples and gas flow rate are measured, and the results are compared with theoretical solution of linearized differential equation.

Thus, the permeability of gas in rock is determined for the granites. The fundamental characteristics is clarified experimenally.

*,** : Hydroscience and Geotechnology Laboratory, Faculty of Engineering, Saitama University, Urawa, Saitama.